

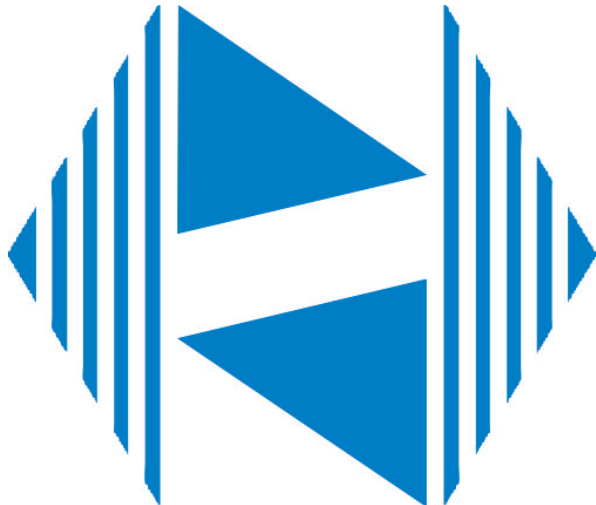
# Introdução à Física Computacional - Quinto Projeto

## Dinâmica Populacional

Matheus Neme Campos Brustelo (n°15479472)

*Universidade de São Paulo, Instituto de Física de São Carlos*

(Data: 13 de novembro de 2025)



**IFSC**

**USP**

# SUMÁRIO

I. Resumo e Objetivos	3
II. Tratamento Geral	4
III. Rumo ao Caos	7
IV. O Caos	10
V. Conclusão	15
Referências	15

## I. RESUMO E OBJETIVOS

Este relatório tem como objetivo mostrar o comportamento qualitativo do mapeamento logístico e o cálculo numérico de algumas grandezas relevantes, compreendendo como pequenas variações nas condições iniciais podem levar à resultados muito distintos. Na Seção II, fazemos o tratamento geral qualitativo do problema. Na Seção III, calculamos a Constante de Feigenbaum. Na seção IV, calculamos o Exponente de Lyapunov.

## II. TRATAMENTO GERAL

Seja  $N(t)$  o número de indivíduos de uma população em função do tempo, vamos modelar seu crescimento com base na seguinte equação diferencial:

$$dN(t) = \alpha N(t)dt \quad (1)$$

em que  $\alpha$  é uma constante positiva.

Discretizando essa equação, ou seja, tomando  $dN = N_{i+1} - N_i = \alpha N_i \Delta t$ , temos:

$$N_{i+1} = (1 + \alpha \Delta t)N_i = rN_i \quad (2)$$

em que  $\Delta t$  é um valor fixo (não necessariamente pequeno) e  $r$  é uma constante positiva que é, necessariamente, maior que 1. Caso fosse menor que 1,  $\alpha$  seria negativo, e, caso fosse igual a 1,  $\alpha$  seria nulo, o que contradiz a descrição do problema e, portanto, não tem sentido físico.

Vamos, agora, limitar o crescimento da população até um teto, introduzindo o seguinte termo:

$$N_{i+1} = rN_i(1 - N_i/N_{max}) \quad (3)$$

em que  $N_{max}$  é o número máximo de indivíduos. Definindo  $x_{i+1} = N_{i+1}/N_{max}$  e  $x_i = N_i/N_{max}$ , segue que:

$$x_{i+1} = rx_i(1 - x_i) \quad (4)$$

tais que qualquer  $x_i$  deve estar entre 0 e 1 inclusives (limite máximo  $N_{max}$  e mínimo 0 de indivíduos). Define-se, então o mapa logístico  $G(x) = rx(1 - x)$ .

Já tinhámos visto que, para ter sentido físico,  $r > 1$ , mas também temos que impor que qualquer valor  $x_i$  deve ser mapeado para  $x_{i+1}$  válido, isto é, entre 0 e 1 inclusives. Sabemos que  $G(x)$  é uma parábola, e, assim, seu máximo tem  $x_{max} = 1/2$  (válido) e  $G(x_{max}) = r/4$ . Como  $G(x)$  deve ser menor ou igual 1, segue que  $r \leq 4$ . Com respeito a ser maior ou igual a zero, não precisamos nos preocupar, já que temos uma parábola tal que 0 e 1 são raízes e a concavidade é para baixo. Logo:

$$1 < r \leq 4 \quad (5)$$

O objetivo geral, a partir de agora, é encontrar os pontos fixos dessa relação e, posteriormente, entender se há ou não convergência. Começando pelos pontos fixos, temos que procurar pelos pontos tais que  $G(x^*) = x^*$ . Matematicamente, temos:

$$x^* = rx^*(1 - x^*) \Rightarrow x^* = 0 \text{ ou } 1 = r - rx^* \quad (6)$$

ou seja, os pontos fixos são  $x^* = 0$  e  $x^* = (r - 1)/r = 1 - 1/r$ .

Graficamente, isso é equivalente a encontrar os pontos sobre  $G(x)$  e sobre a reta  $y = x$  simultaneamente. Vamos observar essas duas curvas, juntamente com uma análise qualitativa da convergência ou não ao ponto fixo, a partir dos diagramas de cobweb da Figura 2. É evidente que apenas houve convergência para os valores de  $r$  menores que 3. Nos outros casos, as “teias” apareceram circular o ponto fixo de forma mais organizada em  $r = 3$  e menos organizada em  $r = 4$ . Para esses mesmos valores, podemos fazer um diagrama de evolução temporal, em que também podemos visualizar a convergência ou não dos resultados na Figura 1. As conclusões são, obviamente, as mesmas, mas, dessa vez, podemos ter noção do quão disperso é o resultado encontrado para  $r = 4$  e podemos ver que, para  $r = 3$ , o gráfico parece convergir muito lentamente ao ponto fixo.

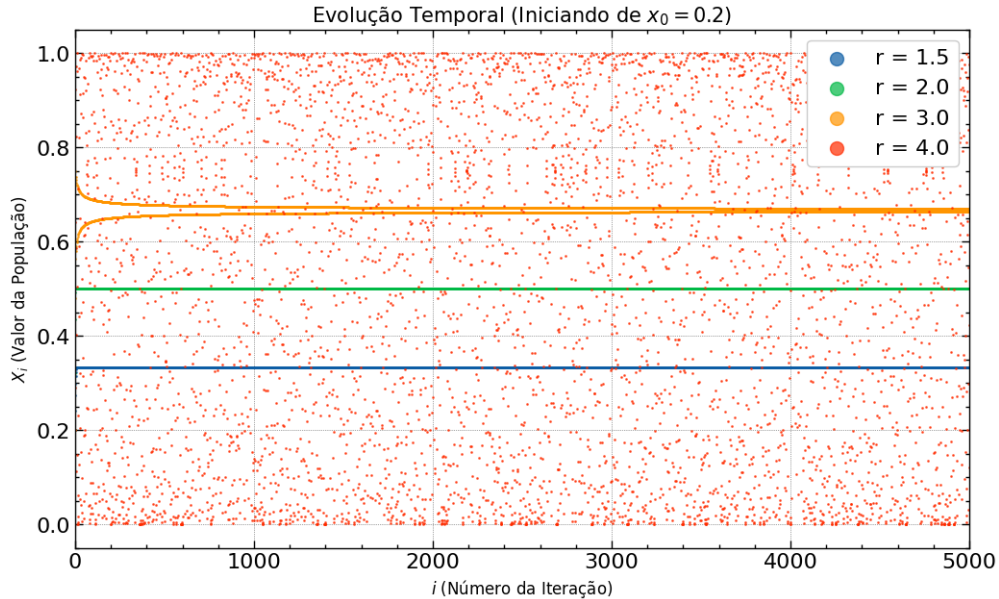


Figura 1. Diagramas de evolução temporal para os diferentes valores de  $r$ .

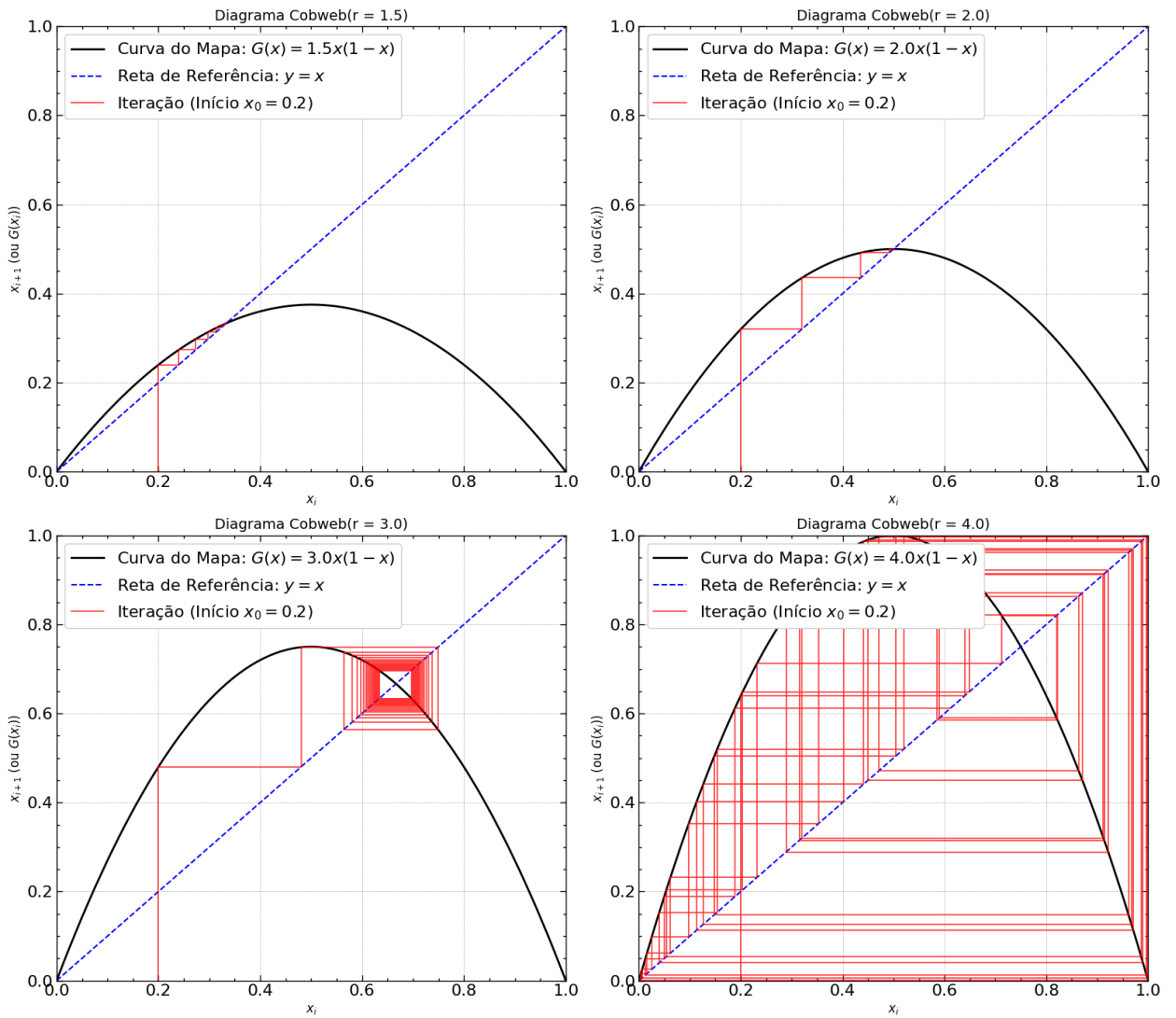


Figura 2. Diagramas de Cobweb para vários valores de  $r$ .

### III. RUMO AO CAOS

Vamos analisar de forma um pouco mais quantitativa a convergência ou não do ponto fixo, trabalhando antes da ocorrência do caos. Como vimos qualitativamente, para  $r$  maior do que 3 (e menor do que aproximadamente 3.5 de acordo com o roteiro do professor) o ponto fixo  $x^*$  torna-se instável. Do roteiro e da literatura, temos as seguintes informações: (i) O mapa converge para um comportamento oscilatório entre dois valores (ii) Aumentando progressivamente o valor de  $r$ , existe um valor para o qual o ciclo de oscilação passará a ser entre quatro valores fixos (iii) Novamente, se aumentarmos  $r$ , o valor será duplicado de novo, e assim por diante, caracterizando o fenômeno da duplicação de período. Com isso, temos que tomar a razão entre diferenças de valores sucessivos de  $r$ , e verificar que esse valor é constante (definido como constante de Feigenbaum  $\delta$ ). Feito isso, podemos calcular quando a duplicação de períodos é infinita.

Para que possamos averiguar essas afirmações, vamos começar vendo um diagrama de bifurcações (Figura 3), em que colocamos todos os  $x_i$  possíveis no eixo  $y$  para cada  $r$  do eixo  $x$ , ignorando o início instável da evolução temporal. Observando a figura, conseguimos ver exatamente que, a partir de  $r = 3$ ,  $x_i$  passa a assumir dois possíveis valores, depois há uma bifurcação próxima de  $r = 3.5$ , e assim por diante, até que tenhamos caos.

Para calcular o valor de  $\delta$ , seguiremos a lógica de um algoritmo de busca binária ou

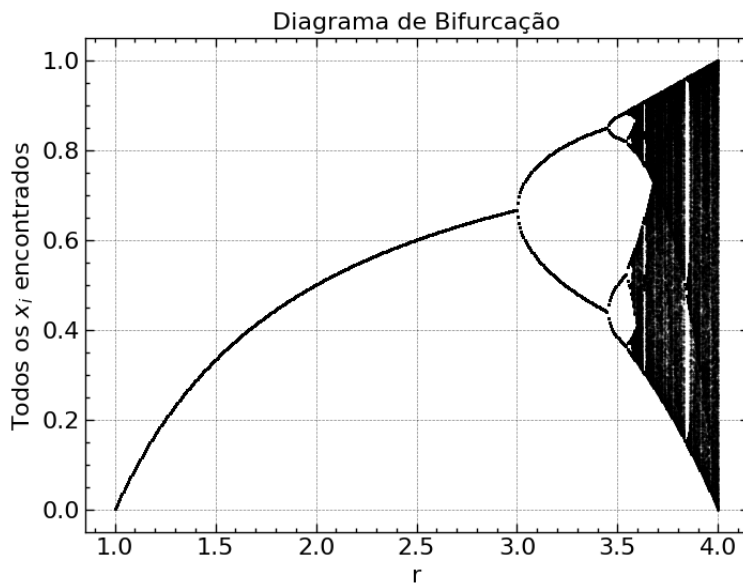


Figura 3. Diagrama de Bifurcação para o Mapa Logístico.

bifurcação. Para cada  $r$  a ser verificado, descartaremos o transiente dos primeiros 100 mil pontos, por segurança. Depois, armazenaremos os próximos 2 mil em um array e o ordenaremos. Feito isso, basta contar, com uma tolerância estipulada, qual a quantidade de valores distintos nesse array. Assim, dado um intervalo inicial, que pode ser chutado usando o gráfico e refinado posteriormente, vamos fazer a bisseção do intervalo, buscando o ponto tal que o número de valores distintos muda. Esse é um algoritmo razoavelmente eficiente já que é  $O(\log N)$ ,  $N = \Delta r/p$ , em que  $\Delta r$  é a largura do intervalo e  $p$  o menor valor distinguido pela precisão do computador.

Com esse algoritmo, calcularemos 4 valores de  $\delta$ . Cada  $\delta_i$  é definido como:

$$\delta_i = \frac{r_{i+1} - r_i}{r_{i+2} - r_{i+1}} \quad (7)$$

em que  $r_i$  é o  $r$  mínimo tal que  $x$  passa a assumir  $i + 1$  valores distintos.

Calcularemos os valores de  $\delta_i$  de 1 até 4 com precisão dupla. A melhor estimativa para  $\delta$  é a média de cada um dos valores encontrados, calculando, também, o desvio padrão da média (incerteza). Para estimar  $r_\infty$ , ou seja, o  $r$  tal que a duplicação é infinita, vamos usar o valor de  $\delta$  estimado. Como fomos até o quarto valor de  $\delta$ , temos até  $r_6$ . A soma de Progressão Geométrica nos dá, considerando  $\delta$  constante:

$$r_\infty = r_6 + \frac{r_6 - r_5}{\delta - 1} \quad (8)$$

em que podemos desprezar as incertezas dos valores de  $r$  e propagar a incerteza de  $\delta$ . Isso faz com que subestimemos levemente a incerteza, mas, ainda sim, é uma boa estimativa.

Os resultados para os pontos de bifurcação estão na Tabela I. As estimativas para  $\delta$  estão na Tabela II. A comparação dos resultados finais com as incertezas estão na Tabela III. Como mostrado na Tabela III, os valores diferem de menos de duas vezes a incerteza dos resultados, mostrando que estamos dentro do intervalo esperado.

Tabela I. Pontos de bifurcação  $r_k$  (período  $2^k$ ) calculados numericamente.

$k$	Período ( $2^{k-1} \rightarrow 2^k$ )	Valor $r_k$ (Calculado)
1	$1 \rightarrow 2$	2.999868547986772
2	$2 \rightarrow 4$	3.449439071388043
3	$4 \rightarrow 8$	3.544069604272262
4	$8 \rightarrow 16$	3.564398825674024
5	$16 \rightarrow 32$	3.568756001952749
6	$32 \rightarrow 64$	3.569690229379870

Tabela II. Estimativas da constante  $\delta$  a partir dos valores de  $r_k$ .

Estimativa	Fórmula	Valor Calculado
$\delta_1$	$\frac{r_2 - r_1}{r_3 - r_2}$	4.750797757329750
$\delta_2$	$\frac{r_3 - r_2}{r_4 - r_3}$	4.654901976522208
$\delta_3$	$\frac{r_4 - r_3}{r_5 - r_4}$	4.665687156387996
$\delta_4$	$\frac{r_5 - r_4}{r_6 - r_5}$	4.663935303365092

Tabela III. Comparaçāo dos resultados finais (média de  $\delta$  e  $r_\infty$ ) com a literatura.

Grandeza	Valor Calculado (com incerteza)	Valor da Literatura
Constante de Feigenbaum ( $\delta$ )	$4.684 \pm 0.022$	4.6692016...
Início do Caos ( $r_\infty$ )	$3.5699438 \pm 0.0000015$	3.5699456...

#### IV. O CAOS

Agora, finalmente, podemos analisar o comportamento caótico, calculando o Exponte de Lyapunov. A análise consiste em dois métodos distintos. O primeiro, é por um ajuste de uma curva exponencial, já o segundo, uma soma de valores da derivada de  $G(x)$  ao longo das iterações. Para o primeiro método, temos:

$$d(i) = |G^{(i)}(x_0 + \epsilon) - G^{(i)}(x_0)| \quad (9)$$

em que  $i$  é o número de iterações do mapa e  $G^{(i)}$  refere-se ao número de vezes que a função foi aplicada. Em outras palavras,  $G^{(i)}(x_0) = G(x_{i-1})$ , em que  $x_{i-1}$  é a iteração anterior do mapa. O valor de  $\epsilon$  deve ser pequeno em comparação a  $x_0$ .

Sabemos da literatura que  $d_i$  inicialmente terá um comportamento exponencial, e, depois, irá saturar. Assim, nesse intervalo exponencial, podemos fazer um ajuste para uma reta em gráfico mono-log e calcular o expoente de Lyapunov  $\lambda$ . O segundo método é derivado a partir de uma expansão em taylor da expressão anterior, resultando em:

$$\lambda = \frac{1}{n-1} \sum_{i=0}^{n-1} \ln |G'(x_i)| = \frac{1}{n-1} \sum_{i=0}^{n-1} \ln |r(1-2x_i)| \quad (10)$$

em que  $G'(x)$  é a derivada de  $G(x)$ .

Logo, o que estamos fazendo aqui é uma pequena modificação nas condições iniciais, observando que os resultados divergem exponencialmente dos sem modificação, o que caracteriza o caos se o expoente encontrado for maior que zero. Se o expoente for negativo, isso significa que as duas soluções irão convergir, não havendo caos.

Para os dados de teste pedidos, temos o gráfico da Figura 4. Para fazer o ajuste, usamos o intervalo de comportamento exponencial, estimado de 5 até 40. Além disso, podemos observar que a distância  $d(i)$  se torna saturada, já que o máximo de diferença é limitado até um. Para os valores numéricos temos a Tabela IV.

Tabela IV. Resultados para o Exponte de Lyapunov ( $\lambda$ ) com os valores da Figura 4

Expoente de Lyapunov ( $\lambda$ )	Valor Calculado
Método do Ajuste	0.20227582043430373
Método da Soma	0.18411637919426829

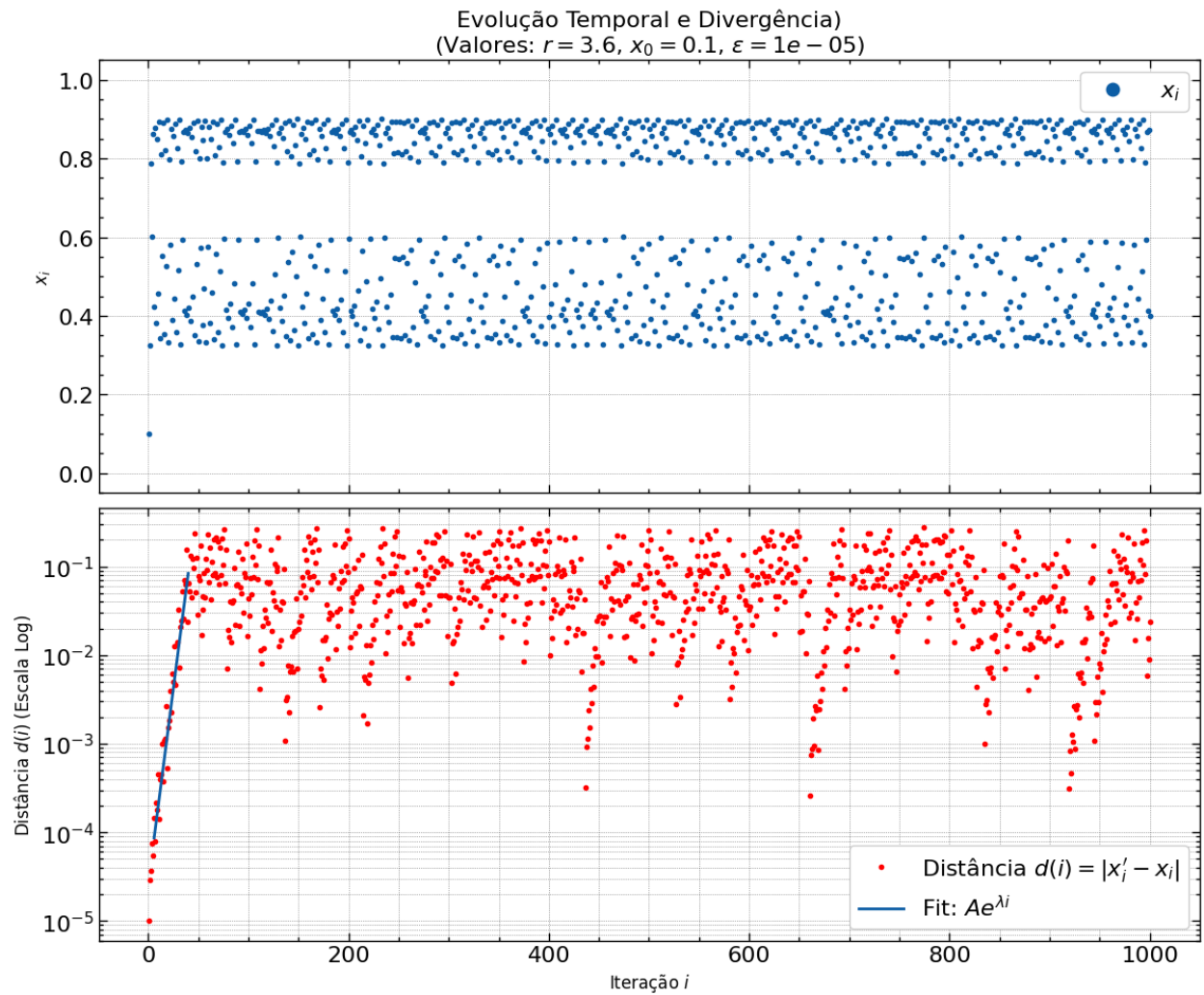


Figura 4. Gráfico da situação pedida no enunciado.

Além dessa análise numérica, podemos ver de forma qualitativa o comportamento conforme  $r$  varia. A análise qualitativa genérica pode ser feita rodando o código exigido no projeto para os valores desejados. Nesse relatório, foram expostos os resultados numéricos pedidos explicitamente no enunciado. As três figuras que descrevem o comportamento são as Figuras 5, 6 e 7. Observa-se que, para os valores menores de  $r$ ,  $d(i)$  vai a zero, o que ocorre mais rapidamente para o menor valor de  $r$ . Isso reflete o comportamento de  $\lambda < 0$ . Para o caso com  $r$  grande, temos, novamente, comportamento caótico.

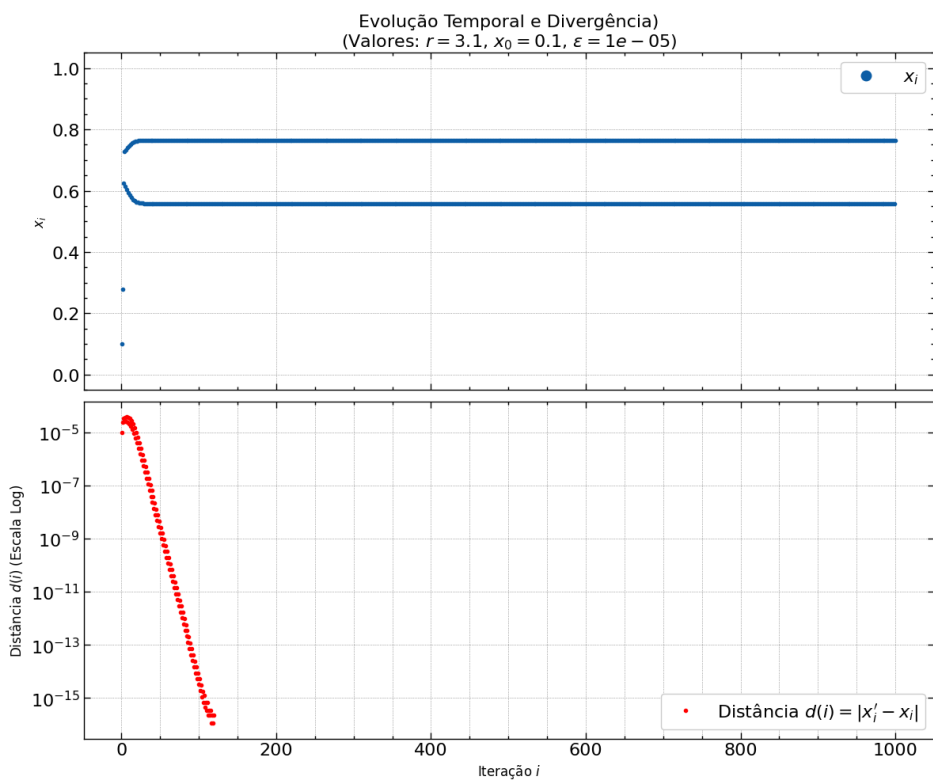


Figura 5. Análise de  $d(i)$ : vai a zero.

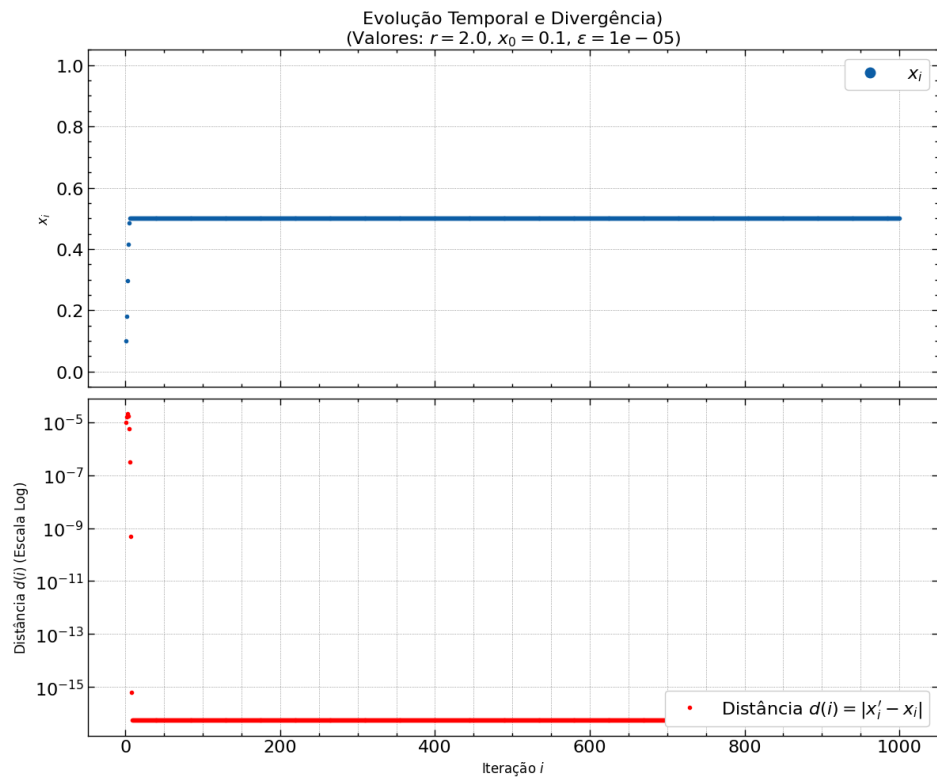


Figura 6. Análise de  $d(i)$ : vai a zero rapidamente.

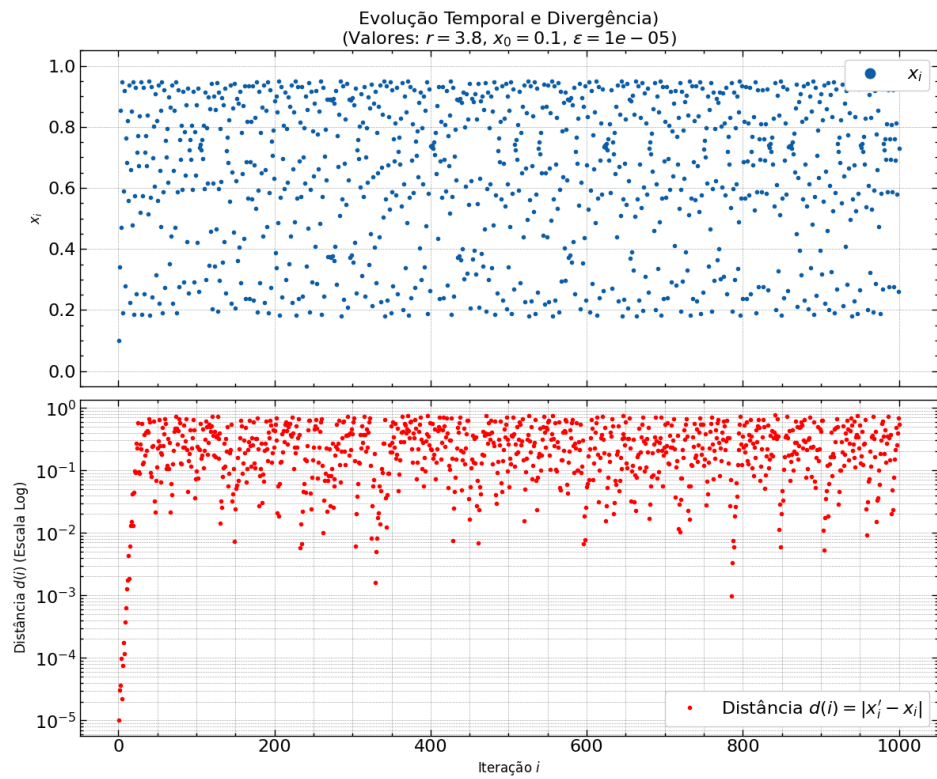


Figura 7. Análise de  $d(i)$ : caos.

## V. CONCLUSÃO

Logo, ao longo das tarefas, foi possível averiguar, tanto de forma qualitativa quanto numérica, a mudança de comportamento de um ponto fixo estável até o caos. Na seção II, focamos em uma análise quantitativa dos valores de  $r$  aceitáveis e do comportamento geral qualitativo conforme variamos  $r$ . Na seção III, calculamos a Constante de Feigenbaum e o valor de  $r_\infty$  para o início do caos, obtendo bons resultados em comparação com a literatura. Por último, na Seção IV, analisamos o Caos propriamente, observando a divergência exponencial de duas condições iniciais muito próximas, calculando o Exponente de Lyapunov por dois métodos distintos, que resultam em valores bem próximos e condizentes.

---

## REFERÊNCIAS

- [1] Giordano, N. J. e Nakanishi, H., *Computational Physics*. 2. ed. Pearson/Prentice Hall, 2006.
- [2] Vuolo, J. H., *Fundamentos da Teoria de Erros*. 2. ed. Editora Edgard Blücher, 1996.